

Теория сигналов и систем

УДК 621.314 + 517.938

А.В. Кириленко, д-р техн. наук¹, В.Я. Жуйков, д-р техн. наук², М.Е. Количенко²

Трехкратные перемежающиеся хаотические процессы кусочно-непрерывных систем

В данной статье рассмотрены особенности хаотических процессов для случая комплексно-сопряженных корней характеристического многочлена, кусочно-непрерывных систем с обратной связью.

This article discusses the characteristics of chaotic processes in the case of complex conjugate roots of the characteristic polynomial, piecewise-continuous systems with feedback.

Ключевые слова: хаос, ШИМ, отображение, фрактал.

Введение

Исследование хаотических режимов работы в импульсных стабилизаторах напряжения с широтно-импульсным (ШИМ) регулированием, на математической модели [1], показало присутствие хаотических колебаний [2], подтвержденное экспериментом [3]. Особенностью таких процессов является то, что при расчете, значение постоянной типа Фейгенбаума изменяется в зависимости от точки начала расчета, что указывает на более сложную структуру хаотического процесса по сравнению с процессами в системах с гладкими нелинейностями.

В данной статье рассмотрены особенности, структура и постоянные хаотических процессов в понижающем широтно-импульсном преобразователе для случая комплексно-сопряженных корней характеристического многочлена.

1. Описание модели

Рассматривается электрическая схема устройства (рис.1), используемого как широтно-импульсный преобразователь постоянного напряжения в постоянное, для которого характерны два непрерывных состояния, при условии непрерывности тока дросселя i_L . Ключи S1 и S2 работают поочередно и приняты идеальными. Элементы компаратор и инвертор – идеальные и безинерционные.

Система уравнений, которая описывает работу схемы, изображенной на рис.1, имеет следующий вид:

$$\begin{cases} \begin{pmatrix} \frac{di_L}{dt} \\ \frac{du_C}{dt} \end{pmatrix} = A(\gamma_1)X + B(\gamma_1) = \begin{pmatrix} -\frac{\gamma_1 r}{L} & \frac{1}{L} \\ \frac{1}{C} & -\frac{1}{RC} \end{pmatrix} \begin{pmatrix} i_L \\ u_C \end{pmatrix} + \begin{pmatrix} \gamma_1 E \\ 0 \end{pmatrix}, \\ F(u_{co}, u_r) = u_{oc} = u_r - u_{co}, \\ u_r = U_M(t - nT)/T, \quad u_{co} = k(u_{оп} - k_d u_C), \\ \gamma_1(u_{oc}) = \begin{cases} 0, & u_{oc} < 0; \\ 1, & u_{oc} \geq 0; \end{cases} \end{cases} \quad (1)$$

где: E – напряжение источника питания; R, r – сопротивления нагрузки, и внутреннее сопротивление источника, соответственно; L, C – линейные индуктивность и емкость, соответственно; k_d – коэффициент уменьшения выходного напряжения поступающего в систему управления; $u_C, u_{оп}, U_M$ – напряжения на емкости, опорное и амплитудное с периодом T , соответственно; u_{co} – сигнал ошибки усиленный в k раз; u_r – развертывающие пилообразное напряжение; k – коэффициент усиления сигнала ошибки; $\gamma_1(u_{oc})$ – функция принимающая значение либо – «0», либо – «1», в зависимости от значения функционала $F(u_{co}, u_r)$; n – номер периода развертывающего напряжения, $n=0,1,2,3,\dots$

2. Методика моделирования

Моделирование процессов проводится на программном обеспечении написанном на языке C++, на компьютере с микропроцессором Intel® Core™2 Duo 2 ГГц, и оперативной памятью объемом 2 Гб. Расчет дифференциальных уравнений проводится численным методом Рунге-Кутты четвертого порядка точности, с фиксированным шагом – $\Delta t = 10^{-7}$ с. Выбор шага с которым проводится моделирование Δt , осуществлен опытным путем. При относительно больших значениях Δt невозможно получить длительный хаотический процесс из-за малой точности определения координат точки пересечения сигнала ошибки и развертывающего напряжения. При малых значениях Δt время моделирования и объем используемой памяти не позволяет решить поставленную задачу. Поэтому, был выбран шаг $\Delta t = 10^{-7}$, при котором

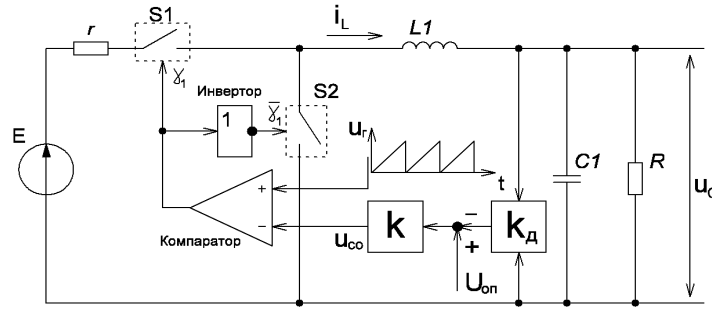


Рис.1. Электрическая схема широтно-импульсного преобразователя с двумя непрерывными состояниями

точность решения позволяет рассчитать хаотический процесс на интервале необходимой длительности, а средняя длительность моделирования процесса составляет 600 секунд. Алгоритм, по которому проводится моделирование, приведен на рис.2.

3. Результаты моделирования

Для параметров схемы: $R=4,8 \text{ Ом}$; $r=0,01 \text{ Ом}$, $L=0,006 \text{ Гн}$, $C=0,0002 \text{ Ф}$, $E=48 \text{ В}$, $U_{оп}=6 \text{ В}$, $U_M=6 \text{ В}$, $T=0,001 \text{ с}$, $k_D=0,125$, $k=13$, корни p_1 , p_2 характеристического многочлена матрицы A – являются комплексно-сопряженными и при $\gamma_1=0$ – $p_1=-521,67+750,29i$, $p_2=-521,67-750,29i$, при $\gamma_1=1$ – $p_1=-520,83+749,71i$, $p_2=-520,83-749,71i$, получен следующий вид зависимости напряжения сигнала ошибки $u_{со}$ от времени (рис.3) и отображение $e_{n+1} + \tau_{n+1} = f(e_n + \tau_n)$ (рис.4), где: τ_n – момент перехода функции $\gamma_1(u_{со})$ из «1» в «0» на периоде развертывающего напряжения, $0 < \tau_n < T$; e_n – целое число периодов развертывающего напряжения вложенных в одно хаотическое колебание; $n=1,2,3,\dots$

При заданных параметрах в системе присутствуют три перемежающихся хаотических процесса X_1 , X_2 и X_3 , с характерными для каждого из них целочисленными фрактальными последовательностями, n_{X1} , n_{X2} и n_{X3} , где n_{Xi} – целое число периодов развертывающего напряжения вложенных в интервал хаотических колебаний X_i . Интервал хаотических колебаний - интервал на временной оси расположенный между точкой начала (первое на интервале пересечение $u_{со}$ и u_r) и точкой срыва (последнее на интервале пересечение $u_{со}$ и u_r) генерации хаотического процесса X_i , $i=1,2,3$. Для определения интервалов существования процессов X_1 , X_2 и X_3 на временной оси используется следующая процедура. Строится отображение $e_{n+1} + \tau_{n+1} = f(e_n + \tau_n)$, и на нем выделяются кривые являющиеся основными для процессов, кривые 1, 2 и 3, рис.3 и кривые 1', 1'', 2', 2'', 3', 3'' через которые происходит переход между основными кривыми процессов. Далее при рассмотрении временной зависимости $u_{со}$ (рис.4)

колебание причисляются к тому процессу на кривые которого ложатся точка переключения соответствующая данному колебанию.



Рис. 2. Алгоритм моделирования

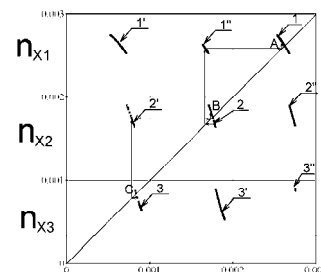


Рис.3. Отображение $e_{n+1} + \tau_{n+1} = f(e_n + \tau_n)$

Зависимость $u_{со}$ от времени (рис.4) представляет собой неперiodические колебания амплитуды которых изменяются, и не повторяются во времени.

Элементы последовательности n_{x_i} определяются по формуле $n_{x_i} = n_{x_{i\min}} + (n_{x_{i\min}} + 1)(j-1)$, где $n_{x_{i\min}}$ - минимальное значение n_{x_i} , которое определяется из отображения $e_{n+1} + \tau_{n+1} = f(e_n + \tau_n)$, и для процессов X1, X2 и X3 соответственно равно 2, 1 и 0; j - количество колебаний в интервале хаотических колебаний, $j=1,2,3,\dots$

Расчет постоянных типа Фейгенбаума проведенный по формуле $\delta = |(T_n - T_{n-1}) / (T_{n+1} - T_n)|$ для основных кривых отображения 1, 2 и 3 (рис.3), дает следующие значения постоянных процессов соответственно равных: для X1 - $\delta_{x1} \approx 0,37$, для X2 - $\delta_{x2} \approx 0,28$ и для X3 - $\delta_{x3} \approx 0,33$.

Отметим, что Возможность генерации хаотического процесса в системе определяется значениями всех коэффициентов дифференциального уравнения и уравнения обратной связи

Выводы

Таким образом, рассматриваемый хаотический процесс состоит из перемежающихся хаотических процессов, каждый из которых содержит целочисленную, непериодическую, фрактальную последовательность и детерминированную хаотическую составляющую с присущей ей постоянной процесса, что указывает на бо-

лее сложный процесс, протекающий в системе по сравнению с хаотическими процессами генерируемыми в системах с гладкими нелинейностями.

Литература

1. Жуйков В.Я., Леонов А.О., Хаотические процессы в электротехнических системах. // Изв. АН СССР Энергетика и транспорт. – 1991. №1. С. 121-127.
2. Савицки А. Анализ условий и разработка критериев возникновения хаотических процессов в электрических цепях применительно к задачам электротехники и электроэнергетики // Дис. канд. наук. Киев. 1988. 201 с.
3. Korotyeyev I., Zhuikov V., Kasperek R., Electrotechnical Systems: Calculation and Analysis with Mathematica and PSpice. – CRC Press, 2010.
4. Жуйков В.Я., Количенко М.Е., Исследование хаотических процессов в системе с ключами. // Технічна електродинаміка, тематичний випуск «Проблеми сучасної електроніки», Частина 2. – Киев 2010. – С. 20 – 25.

¹ *Институт электродинамики, Киев, Украина*

² *Национальный технический университет Украины «Киевский политехнический институт»*